

I-193 通行荷重による橋の振動の人体への感じについて

武藏工業大学 正員 西脇威太

" " 嶋村李志

長大橋設計センター 中島清

1. まえがき

最近架設される橋は、古く架設された橋に比べ振動し易いことは否定出来ない。これは、橋の軽量化と、それによる活荷重(起振荷重)の相対的増大、高強度材料の使用に伴う剛性の低下、密接の採用による内部摩擦の減少などによる理由と挙げられようが、材料の疲労がこれ程重要な設計因子となりない道路橋では、振動し易いといふことが、長大支間の橋梁における固有振動数や減衰特性が耐震設計または耐風安定性に重大な意味を持つ橋以外は、工学的にどのような意味を持つか判然としているがなかった。

ところで、橋の使命が、交通流の処理の円滑化のためにあり、人間も交通流の一要素であると考えると、歩道橋あるいは歩行者の通行を認める橋梁において、歩行者自身あるいは走行車両によつて引き起された振動が、歩行を不能とするという極めて特殊な場合も含めて、少なくとも歩行者に不快感を与えるとすれば、橋はその使命を十分に果していとは言い難くなる。橋は見ご美しく、渡つて快適じあることか、安全じあることか、一般的の條件に加えて要求されなければならない。

従来多くの橋の振動実験が実施されていよいよ、その目的は上述した耐震・耐風設計の資料となる橋の動特性の蒐集か、設計に採用する衝撃係数の数値の妥当性の検討などが主であった。筆者らは、前述のような橋の使命を考え、橋の振動の人体に与えた感覚を測定し、それを橋の設計に用ひられる工学的パラメーターとの関係を調べ、橋が振動していると感ぜられることが工学的に有害であるか否か。振動しない橋の方が歩いて渡るのに快適じあるから、振動していることをあまり感じない橋を設計するため設計上採上げるべきパラメーターは何か。などのようにしたら良いかなどを検討しようとした。

人間の振動に対する感覚にはかなり個人差があり、感覚的に振動を評価することはむつかしい。しかし、車輌の重心地に対する研究、工場または建設現場の発生する振動の人体への影響などの研究は40年程以前から研究されており¹⁾、最近これらが振動公害として採上げられるに至って、三輪・米川の人体感覚への評価法に対する広範な研究²⁾が実施されている。またそれによる東京都の規制基準も本年2月に発表され³⁾、かなり客観的・定量的な評価が出来ようになつて来た。

2. 振動の人体感覚への評価法

三輪は人体加速度振動台によって10名の被験者の振動感覚を測定して図-1に示す等感度曲線を求めた。加速度レベルとしては、

$$VAL = 20 \log_{10} a / a_{ref} \quad (dB) \quad (1)$$

を用いた。三輪は a_{ref} を 5 Hz の加速度実効値 10^{-3} cm/sec^2 とつけていよいよ、ISO $2''/2 \cdot 10^{-3} \text{ cm/sec}^2$

を探つてみると ISO の 0dB は VAL 60dB である。我々はピーク値による加速度とのままで表示した。振動の強さレベルを "20 Hz を基準振動数として、他の振動数の振動をこれに感覚的に基準とした場合の 20 Hz の振動の VAL 値" で表はし、この単位を VGL とした。たとえば図-1において 10VGL の線上の点の振動は振動数は異つていいが、人体には同じレベルの振動として感ずる。さらに三輪は、振動の大きさとし 40VGL を 1 VG とし、Garner の比率修正法によつて VG-VGL の関係を実験的に次式で与えた。

$$\log VG = 0.030 VGL - 1.20 \quad (VG < 1) \quad (2)$$

$$\log VG = 0.023 VGL - 0.92 \quad (VG > 1) \quad (2)$$

さらに複合正弦振動またはランダム振動の場合の感覚値の荷重加算法を実験的に次式で与えた。

$$VG_T = VGM_{i,1} + 0.3 \{ \Sigma VGi_{i,1} - VGM_{i,1} \} \quad (3)$$

$$VG_T = VGM_{i,2} + 0.13 \{ \Sigma VGi_{i,2} - VGM_{i,2} \} \quad (3)$$

上式中、 VG_T は合成された振動の大きさ、 VGM は各振動数成分 VGi 中の最大値、 i または $\frac{1}{2}$ は振動数スペクトラムの振動数のバンド幅である。

3. 測定と解析

測定対象は都内の歩道橋 9 橋、東京近郊・秩父・奥多摩・中央道の上路型アーチ橋または補剛アーチ橋 8 橋である。測定対象橋梁になるとべく各種の荷重が載つた場合、感覚的に激しく振動していく場合、大型車両 1 台が走行する場合の支間中央の加速度を測定した。測定結果の一例を図-2、図-3 に示す。

図-2A は歩道橋の振動波形、図-2B はアーチ橋のそれである。両図とも横軸と縦軸を同じ縮尺にとつて示してある。これらの振動数スペクトラムを求めて感度曲線を記入したものか、図-3A と図-3B である。

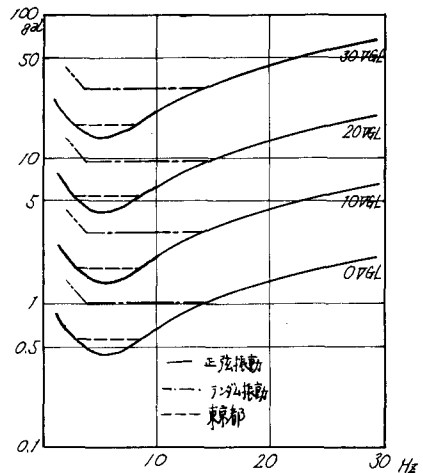


図-1 等感度曲線

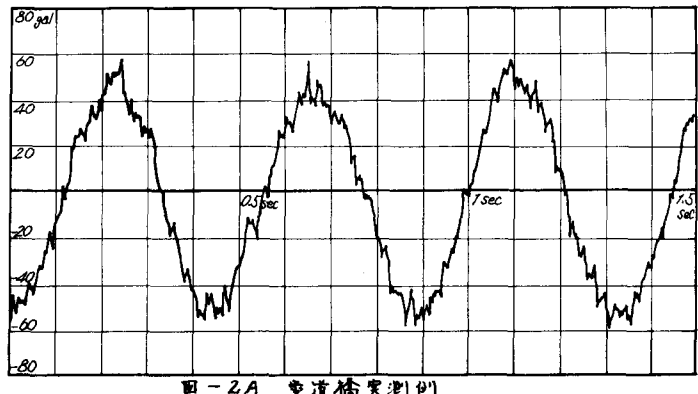


図-2A 歩道橋実測例

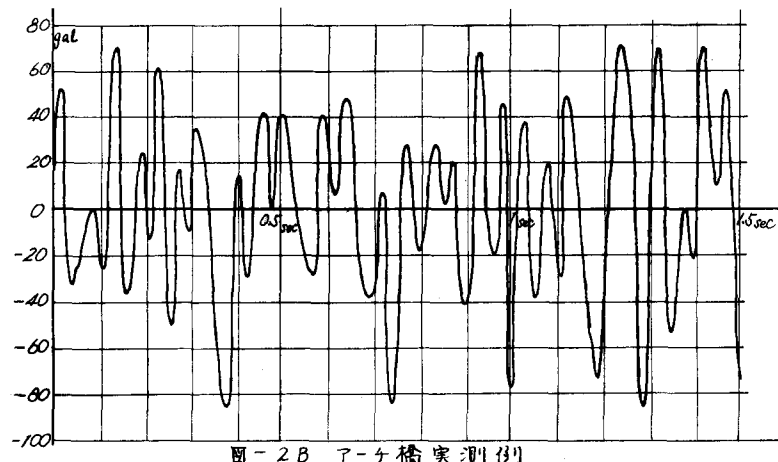


図-2B アーチ橋実測例

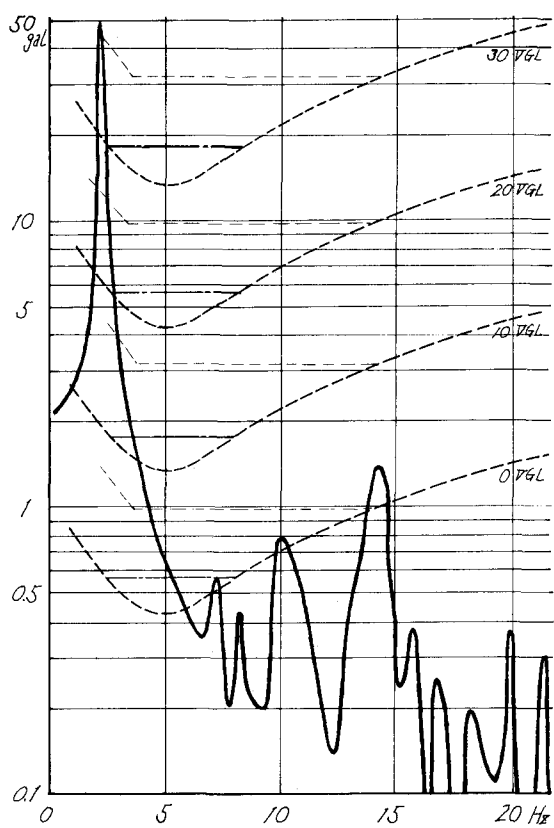


図-3A 歩道橋 解析例

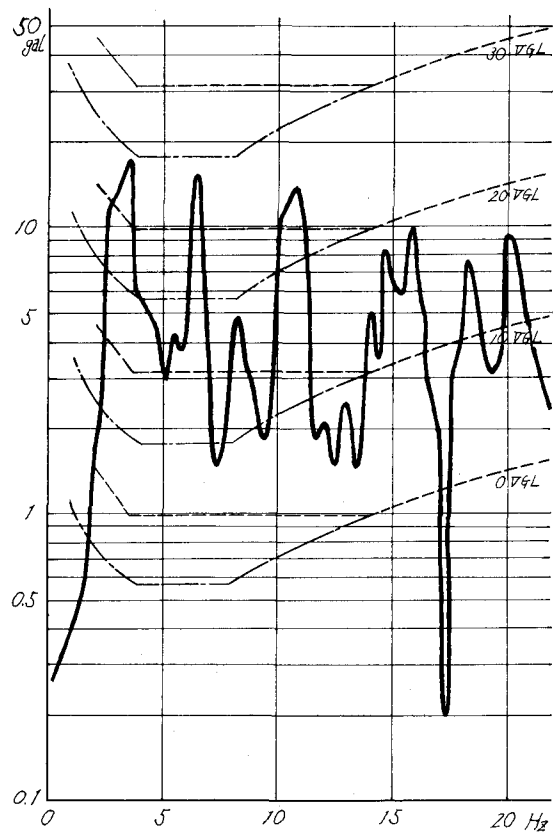


図-3B アーチ橋 解析例

4. 考察

すでに述べたように測定データが少ないのでこの測定結果より一般的な性質を把握することは困難であり、誤った推論を行ふおそれもあるが、この測定結果から推定されることを記す。

図-4Aは東京都の規制曲線の最も厳しい線よりも10dB下げる線より上で振動成分のある場合、それらの単純な合計とVGTとの関係を示し、歩道橋とアーチ橋の振動特性の相異を明らかに示す。

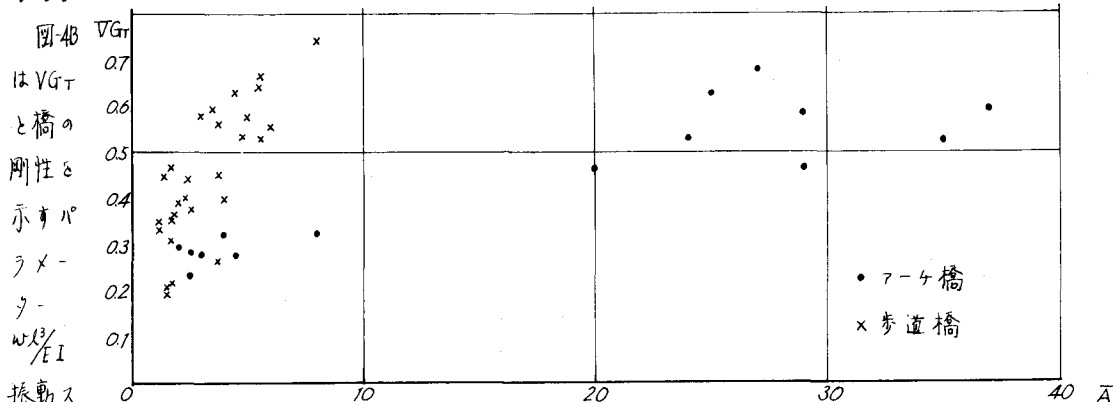


図-4A

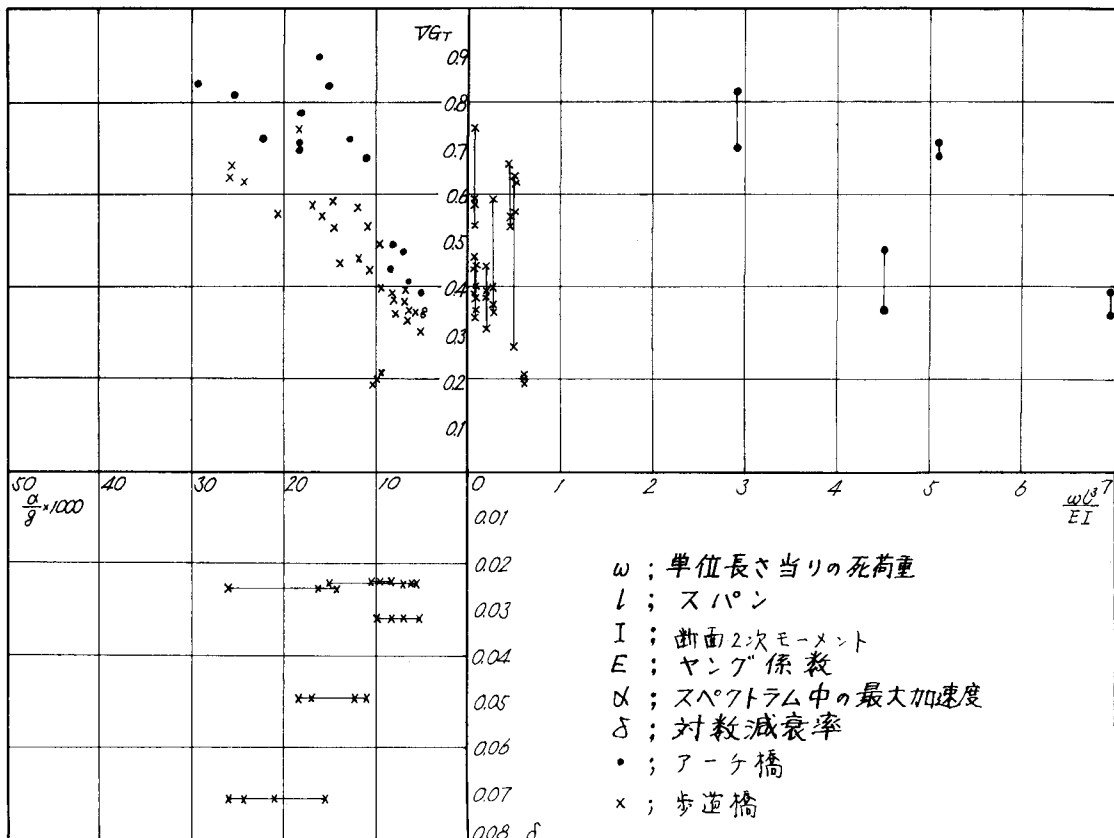


図 - 4B

ラム中の最大加速度ならびに対数減衰率との関係を示している。同じ VGT でも歩道橋の方が最大加速度が大きくなる傾向を示しており、このことは同じ VGT で揺れておまならば、歩道橋の方がアーチ橋より振動応力は大きいことを示している。 $w l^3/EI$ は歩道橋では狭い範囲に分布しているが、それが大となる方が VGT は小さくなる。アーチ橋でもやや強引ではあるがその傾向を認めうる。ここに示してはいるが、対数減衰率や固有振動数などの関連はあまり明瞭に把握出来ないが、対数減衰率の増大とともに VGT は下がる傾向を認めることも出来る。アーチ橋と特徴づけた f/α との関連は明瞭ではない。補剛アーチ橋において $I_G/I_A = 1$ の附近で VGT の極値が出了したが、今後の測定でさらにこの性質は検討する必要がある。

6. あとがき

本研究を行つにあたり、測定や資料の蒐集に際し、関東地方建設局道路建設課及び東京国道工事事務所、東京都建設局道路管理課、神奈川県土木部、埼玉県土木部、日本道路公団の関係各位に心からなりぬ御配慮を頂いた。ここに記して感謝の意を表はしたい。

7. 参考文献

- 1) 嵐山正隆； 振動の入浴感覚とその評価、土木学会関西支部講習会テキスト、1972. 2.
- 2) 三輪俊輔； 正弦振動の評価法、ほか、日本音響学会誌、Vol. 27, No. 1, 1971. p. 11 ~ p. 39
- 3) 振動の規制基準について、東京都都市公園緑化審議会資料、1972. 2.